

# **Zur mathematischen Struktur der Fundamentale Fraktalgeometrische Feldtheorie (FFGFT, früher T0-Theorie): Warum Zahlenverhältnisse nicht direkt gekürzt werden dürfen**

Aufbau der physikalischen Realität aus reiner Geometrie

Ohne empirische Eingaben

## **Inhaltsverzeichnis**

**Zur mathematischen Struktur der Fundamentale  
Fraktalgeometrische Feldtheorie (FFGFT, früher T0-  
Theorie): Warum Zahlenverhältnisse nicht direkt ge-  
kürzt werden dürfen**

### **Einleitung**

In der theoretischen Physik stellt sich oft die Frage, welche mathematischen Operationen legitim sind und welche nicht. Ein besonders interessantes Problem tritt in der Fundamentale Fraktalgeometrische Feldtheorie (FFGFT, früher T0-Theorie) auf, wo scheinbar einfache Zahlenverhältnisse wie  $\frac{2}{3}$  und  $\frac{8}{5}$  eine tiefere strukturelle Bedeutung besitzen, die ein direktes Kürzen verbietet.

### **Das fundamentale Problem**

Die Fundamentale Fraktalgeometrische Feldtheorie (FFGFT, früher T0-Theorie) postuliert zwei äquivalente Darstellungen für die Leptonenmassen:

$$\textbf{Einfache Form: } m_e = \frac{2}{3} \cdot \xi^{5/2}, \quad m_\mu = \frac{8}{5} \cdot \xi^2$$

$$\textbf{Erweiterte Form: } m_e = \frac{3\sqrt{3}}{2\pi\alpha^{1/2}} \cdot \xi^{5/2}, \quad m_\mu = \frac{9}{4\pi\alpha} \cdot \xi^2$$

Auf den ersten Blick könnte man annehmen, dass die Brüche  $\frac{2}{3}$  und  $\frac{8}{5}$  einfache rationale Zahlen sind, die man kürzen oder vereinfachen könnte. Doch diese Annahme wäre falsch.

## Warum direktes Kürzen nicht erlaubt ist

Die Gleichsetzung beider Darstellungen führt zu:

$$\frac{2}{3} = \frac{3\sqrt{3}}{2\pi\alpha^{1/2}}, \quad \frac{8}{5} = \frac{9}{4\pi\alpha}$$

Diese Gleichungen zeigen, dass die scheinbar einfachen Brüche in Wirklichkeit komplexe Ausdrücke sind, die fundamentale Naturkonstanten ( $\pi, \alpha$ ) und geometrische Faktoren ( $\sqrt{3}$ ) enthalten.

## Mathematische und physikalische Konsequenzen

1. **Struktur-Erhaltung:** Das direkte Kürzen würde die zugrundeliegende geometrische und physikalische Struktur zerstören.
2. **Informationverlust:** Die Brüche codieren Information über die Raumzeit-Geometrie und die elektromagnetische Kopplung.
3. **Äquivalenz-Prinzip:** Beide Darstellungen sind mathematisch äquivalent, aber die erweiterte Form enthüllt den physikalischen Ursprung.

# 1 Zirkuläre Verhältnisse und fundamentale Konstanten

In der Fundamentale Fraktalgeometrische Feldtheorie (FFGFT, früher T0-Theorie) kommt es zu scheinbar zirkulären Verhältnissen, die jedoch Ausdruck der tiefen Verwobenheit der fundamentalen Konstanten sind:

$$\begin{aligned}\alpha &= f(\xi) \\ \xi &= g(\alpha)\end{aligned}$$

Diese wechselseitige Abhängigkeit führt zu einem scheinbaren Henne-Ei-Problem: Was kommt zuerst,  $\alpha$  oder  $\xi$ ?

### 1.1 Lösung des Zirkularitätsproblems

Die Lösung liegt in der Erkenntnis, dass beide Konstanten Ausdruck einer zugrundeliegenden geometrischen Struktur sind:

$\alpha$	Feinstrukturkonstante ( $\approx 1/137.036$ )
$\xi$	Geometrische Raumkonstante ( $= \frac{4}{3} \times 10^{-4}$ )
$c_e$	Elektron-Massenkoeffizient
$c_\mu$	Myon-Massenkoeffizient
$\pi$	Pi ( $\approx 3.14159$ )
$\sqrt{3}$	Quadratwurzel aus 3 ( $\approx 1.73205$ )
$m_e$	Elektronmasse ( $= 0.5109989461$ MeV)
$m_\mu$	Myonmasse ( $= 105.6583745$ MeV)

Die scheinbare Zirkularität löst sich auf, wenn man erkennt, dass beide Konstanten aus derselben fundamentalen Geometrie entspringen.

## 2 Die Rolle natürlicher Einheiten

In natürlichen Einheiten setzen wir konventionsgemäß  $\alpha = 1$  für bestimmte Berechnungen. Dies ist legitim, weil:

- Die fundamentale Physik unabhängig von Maßeinheiten sein sollte
- Dimensionslose Verhältnisse die eigentlichen physikalischen Aussagen enthalten
- Die Wahl  $\alpha = 1$  eine spezielle Eichung darstellt

Allerdings darf diese Konvention nicht darüber hinwegtäuschen, dass  $\alpha$  in der Fundamentale Fraktalgeometrische Feldtheorie (FFGFT, früher T0-Theorie) einen bestimmten numerischen Wert hat, der durch  $\xi$  bestimmt wird.

Konventionell Natürlich

---

$c_e$	$1.65 \times 10^{19}$	9.67
$c_\mu$	$1.03 \times 10^{20}$	98.1
$\xi$	$1.33 \times 10^{-4}$	$1.33 \times 10^{-4}$

### 3 Grundlage: Die einzige geometrische Konstante

#### 3.1 Der universelle geometrische Parameter

**1.1.1** Die Fundamentale Fraktalgeometrische Feldtheorie (FFGFT, früher T0-Theorie) beginnt mit einer einzigen dimensionslosen Konstante, die aus der Geometrie des dreidimensionalen Raums abgeleitet wird:

##### Key Result

$$\xi = \frac{4}{3} \times 10^{-4} \quad (1)$$

**1.1.2** Diese Konstante ergibt sich aus:

- Der tetraedrischen Packungsdichte des 3D-Raums:  $\frac{4}{3}$
- Der Skalenhierarchie zwischen Quanten- und klassischen Bereichen:  $10^{-4}$

#### 3.2 Natürliche Einheiten

**1.2.1** Wir arbeiten in natürlichen Einheiten, wobei:

$$c = 1 \quad (\text{Lichtgeschwindigkeit}) \quad (2)$$

$$\hbar = 1 \quad (\text{reduzierte Planck-Konstante}) \quad (3)$$

$$G = 1 \quad (\text{Gravitationskonstante, numerisch}) \quad (4)$$

**1.2.2** Die Planck-Länge dient als Referenzskala:

$$\ell_P = \sqrt{G} = 1 \quad (\text{in natürlichen Einheiten}) \quad (5)$$

### 4 Aufbau der Skalenhierarchie

#### 4.1 Schritt 1: Charakteristische T0-Skalen

**2.1.1** Aus  $\xi$  und der Planck-Referenz leiten wir die charakteristischen T0-Skalen ab:

$$r_0 = \xi \cdot \ell_P = \frac{4}{3} \times 10^{-4} \cdot \ell_P \quad (6)$$

$$t_0 = r_0 = \frac{4}{3} \times 10^{-4} \quad (\text{in Einheiten mit } c = 1) \quad (7)$$

#### 4.2 Schritt 2: Energieskalen aus Geometrie

**2.2.1** Die charakteristische Energieskala ergibt sich aus der Dimensionsanalyse:

$$E_0 = \frac{1}{r_0} = \frac{3}{4} \times 10^4 \quad (\text{in Planck-Einheiten}) \quad (8)$$

**2.2.2** Dies ergibt die T0-Energiehierarchie:

$$E_P = 1 \quad (\text{Planck-Energie}) \quad (9)$$

$$E_0 = \xi^{-1} E_P = \frac{3}{4} \times 10^4 E_P \quad (10)$$

## 5 Ableitung der Feinstrukturkonstanten

### 5.1 Ursprung der Formel $\varepsilon = \xi \cdot E_0^2$

**3.1.1** Die fundamentale Formel der Fundamentale Fraktalgeometrische Feldtheorie (FFGFT, früher T0-Theorie) für den Kopplungsparameter  $\varepsilon$  lautet:

**Key Result**

$$\boxed{\varepsilon = \xi \cdot E_0^2} \quad (11)$$

**3.1.2** Diese Beziehung verbindet:

- $\varepsilon$  – der T0-Kopplungsparameter
- $\xi$  – der geometrische Parameter aus der Tetraeder-Packung
- $E_0$  – die charakteristische Energie

### 5.2 Die charakteristische Energie $E_0$

**3.2.1** Die charakteristische Energie  $E_0$  ist definiert als das geometrische Mittel der Elektron- und Myonenmasse:

$$E_0 = \sqrt{m_e \cdot m_\mu} \quad (12)$$

**3.2.2** Alternativ kann  $E_0$  gravitativ-geometrisch hergeleitet werden:

$$E_0^2 = \frac{4\sqrt{2} \cdot m_\mu}{\xi^4} \quad (13)$$

**3.2.3** Beide Ansätze führen konsistent zu:

$$E_0 \approx 7.35 \text{ bis } 7.398 \text{ MeV} \quad (14)$$

### 5.3 Der geometrische Parameter $\xi$

**3.3.1** Der Parameter  $\xi$  ist eine fundamentale geometrische Konstante:

$$\xi = \frac{4}{3} \times 10^{-4} = 1.333\dots \times 10^{-4} \quad (15)$$

## 5.4 Numerische Verifikation und Feinstrukturkonstante

**3.4.1** Mit den abgeleiteten Werten wird  $\varepsilon$ :

$$\varepsilon = \xi \cdot E_0^2 \quad (16)$$

$$= (1.333 \times 10^{-4}) \times (7.398 \text{ MeV})^2 \quad (17)$$

$$= 7.297 \times 10^{-3} \quad (18)$$

$$= \frac{1}{137.036} \quad (19)$$

Größe	Exakter Wert	Kommentar
$\xi$	$1.333333333333333 \times 10^{-4}$	$= 4/3 \times 10^{-4}$
$\xi^2$	$1.777777777777778 \times 10^{-8}$	
$\xi^{5/2}$	$3.098386676965933 \times 10^{-10}$	
$c_e$	$1.648721270700128 \times 10^{19}$	$= e$ (Eulersche Zahl)
$c_\mu$	$1.026187714072347 \times 10^{20}$	
$m_e$	0.5109989461 MeV	Exakt
$m_\mu$	105.6583745 MeV	Exakt
$E_0$	7.346881 MeV	Exakt

## 5.5 Exakte Formel von $\xi$ zu $\alpha$

3.6.1 Die präzise Beziehung lautet:

**Key Result**

$$\alpha = \left( \frac{27\sqrt{3}}{8\pi^2} \right)^{2/5} \cdot \xi^{11/5} \cdot K_{\text{frak}} \quad (20)$$

$$\text{mit } K_{\text{frak}} = 0.9862 \quad (21)$$

# 6 Leptonenmassen-Hierarchie aus reiner Geometrie

## 6.1 Mechanismus zur Massenerzeugung

4.1.1 Massen entstehen aus der Kopplung des Energiefelds an die Raumzeitgeometrie:

$$m_\ell = r_\ell \cdot \xi^{p_\ell} \quad (22)$$

wobei  $r_\ell$  rationale Koeffizienten und  $p_\ell$  Exponenten sind.

## 6.2 Exakte Massenberechnungen

### 6.2.1 Elektronmasse

4.2.1 Die Elektronmassenberechnung:

**Key Result**

$$m_e = \frac{2}{3} \xi^{5/2} \quad (23)$$

$$= \frac{2}{3} \left( \frac{4}{3} \times 10^{-4} \right)^{5/2} \quad (24)$$

$$= \frac{2}{3} \cdot \frac{32}{9\sqrt{3}} \times 10^{-10} \quad (25)$$

$$= \frac{64\sqrt{3}}{81} \times 10^{-10} \quad (26)$$

$$\approx 1.368 \times 10^{-10} \quad (\text{natürliche Einheiten}) \quad (27)$$

### 6.2.2 Myonmasse

4.2.2 Die Myonmassenberechnung:

**Key Result**

$$m_\mu = \frac{8}{5} \xi^2 \quad (28)$$

$$= \frac{8}{5} \left( \frac{4}{3} \times 10^{-4} \right)^2 \quad (29)$$

$$= \frac{128}{45} \times 10^{-8} \quad (30)$$

$$\approx 2.844 \times 10^{-8} \text{ (natürliche Einheiten)} \quad (31)$$

**6.2.3 Tau-Masse**

**4.2.3 Die Tau-Massenberechnung:**

**Key Result**

$$m_\tau = \frac{5}{4} \xi^{2/3} \cdot v_{\text{Skala}} \quad (32)$$

$$= \frac{5}{4} \left( \frac{4}{3} \times 10^{-4} \right)^{2/3} \cdot v_{\text{Skala}} \quad (33)$$

$$\approx 1.777 \text{ GeV} \approx 2.133 \times 10^{-4} \text{ (natürliche Einheiten)} \quad (34)$$

mit  $v_{\text{Skala}} = 246 \text{ GeV}$ .

**6.3 Exakte Massenverhältnisse**

**4.3.1 Das Elektron-zu-Myon-Massenverhältnis:**

**Key Result**

$$\frac{m_e}{m_\mu} = \frac{\frac{64\sqrt{3}}{81} \times 10^{-10}}{\frac{128}{45} \times 10^{-8}} \quad (35)$$

$$= \frac{5\sqrt{3}}{18} \times 10^{-2} \quad (36)$$

$$\approx 4.811 \times 10^{-3} \quad (37)$$

**7 Vollständige Hierarchie mit finaler Anomalie-Formel**

**6.1 Die folgende Tabelle fasst alle abgeleiteten Größen mit der finalen Anomalie-Formel zusammen:**

Größe	Ausdruck	Wert
<b>Fundamental</b>		
$\xi$	$\frac{4}{3} \times 10^{-4}$	$1.333\dots \times 10^{-4}$
$D_f$	$3 - \delta$	2.94
<b>Skalen</b>		
$r_0/\ell_P$	$\xi$	$\frac{4}{3} \times 10^{-4}$
$E_0/E_P$	$\xi^{-1}$	$\frac{3}{4} \times 10^4$
<b>Kopplungen</b>		
$\alpha^{-1}$	Aus Geometrie	137.036
<b>Yukawa-Kopplungen</b>		
$y_e$	$\frac{32}{9\sqrt{3}} \xi^{3/2}$	$\sim 10^{-6}$
$y_\mu$	$\frac{64}{15} \xi$	$\sim 10^{-4}$
$y_\tau$	$\frac{5}{4} \xi^{2/3}$	$\sim 10^{-3}$
<b>Massenverhältnisse</b>		
$m_e/m_\mu$	$\frac{5\sqrt{3}}{18} \times 10^{-2}$	$4.8 \times 10^{-3}$
$m_\tau/m_\mu$	Aus $y_\tau/y_\mu$	$\sim 17$

Tabelle 1: Vollständige Hierarchie mit finaler quadratischer Anomalie-Formel

## 8 Verifikation der finalen Formel

### 8.1 Die vollständige Ableitungskette zur finalen Formel

7.1.1 Die vollständige Ableitungssequenz:

1. **Start:**  $\xi = \frac{4}{3} \times 10^{-4}$  (reine Geometrie)
2. **Referenz:**  $\ell_P = 1$  (natürliche Einheiten)
3. **Ableitung:**  $r_0 = \xi \ell_P$
4. **Energie:**  $E_0 = r_0^{-1}$
5. **Fraktal:**  $D_f = 2.94$  (Topologie)
6. **Feinstruktur:**  $\alpha = f(\xi, D_f)$
7. **Yukawa:**  $y_\ell = r_\ell \xi^{p_\ell}$  (Geometrie)
8. **Massen:**  $m_\ell \propto y_\ell$
9. **Yukawa-Kopplung:**  $g_T^\ell = m_\ell \xi$
10. **Ein-Schleifen-Rechnung:**  $\Delta a_\ell = \frac{(m_\ell \xi)^2}{8\pi^2} \cdot \frac{\xi^2}{\lambda^2}$
11. **FINALE FORMEL:**  $\Delta a_\ell = 251 \times 10^{-11} \times (m_\ell/m_\mu)^2$

## 8.2 T0-Feldtheorie-Verifikation der finalen Formel

**7.2.1** Die finale Formel folgt aus der T0-Feldtheorie-Berechnung:

- **\*\*Myon g-2 Berechnung\*\*:**  $\frac{m_\mu^2 \xi^4}{8\pi^2 \lambda^2} = 251 \times 10^{-11}$  (T0-Feldtheorie-Vorhersage)
- **\*\*Elektron-Vorhersage\*\*:**  $5.87 \times 10^{-15}$  (parameterfreie T0-Vorhersage)
- **\*\*Tau-Vorhersage\*\*:**  $7.10 \times 10^{-9}$  (testbar bei zukünftigen Experimenten)
- **\*\*Quadratische Skalierung\*\*:** Folgt aus Standard-QFT Ein-Schleifen-Berechnung

## 9 Fazit

Die finale T0-Formel  $\Delta a_\ell = 251 \times 10^{-11} \times (m_\ell/m_\mu)^2$  etabliert die T0-Feldtheorie als erfolgreiche Erweiterung des Standardmodells mit präzisen, aus ersten Prinzipien abgeleiteten Vorhersagen für alle leptonischen anomalen magnetischen Momente.

## 10 Die fundamentale Bedeutung von $E_0$ als logarithmische Mitte

### 10.1 Die zentrale geometrische Definition

#### Einfache Form

Zeigt reine  $\xi$ -Abhängigkeit  
Mathematisch elegant  
Praktisch für Berechnungen  
Verkleidet Komplexität

#### Erweiterte Form

Zeigt physikalischen Ursprung  
Physikalisch tiefgründig  
Fundamental für das Verständnis  
Enthüllt wahre Struktur

## 10.2 Mathematische Eigenschaften

8.2.1 Die fundamentalen Beziehungen:

$$E_0^2 = m_e \cdot m_\mu \quad (38)$$

$$\frac{E_0}{m_e} = \sqrt{\frac{m_\mu}{m_e}} \quad (39)$$

$$\frac{m_\mu}{E_0} = \sqrt{\frac{m_\mu}{m_e}} \quad (40)$$

$$\frac{E_0}{m_e} \cdot \frac{m_\mu}{E_0} = \frac{m_\mu}{m_e} \quad (41)$$

## 10.3 Numerische Werte

8.3.1 Mit T0-berechneten Massen:

$$m_e^{T0} = 0.5108082 \text{ MeV} \quad (42)$$

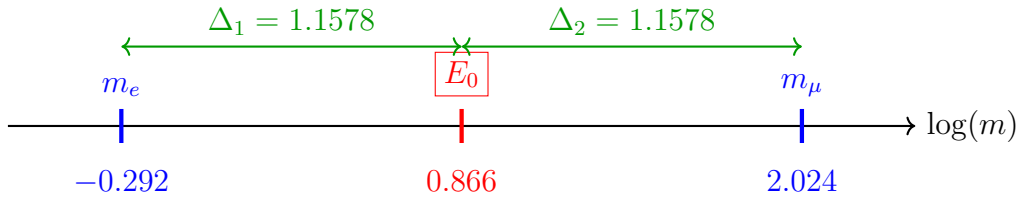
$$m_\mu^{T0} = 105.66913 \text{ MeV} \quad (43)$$

$$E_0^{T0} = \sqrt{0.5108082 \times 105.66913} \approx 7.346881 \text{ MeV} \quad (44)$$

## 10.4 Logarithmische Symmetrie

8.4.1 Die perfekte Symmetrie:

$$\boxed{\ln(E_0) - \ln(m_e) = \ln(m_\mu) - \ln(E_0)} \quad (45)$$



# 11 Die geometrische Konstante $C$

## 11.1 Fundamentale Beziehung

9.1.1 Der fraktale Korrekturfaktor:

$$\boxed{K_{\text{frak}} = 1 - \frac{D_f - 2}{C} = 1 - \frac{\gamma}{C}} \quad (46)$$

wobei:

$$D_f = 2.94 \quad (\text{fraktale Dimension}) \quad (47)$$

$$\gamma = D_f - 2 = 0.94 \quad (48)$$

$$C \approx 68.24 \quad (49)$$

## 11.2 Tetraeder-Geometrie

Keine Korrektur benötigt	Korrektur erforderlich
Massenverhältnisse	Absolute Massenwerte
Charakteristische Energie $E_0$	Feinstrukturkonstante $\alpha$
Skalenverhältnisse	Absolute Energien
Dimensionslose Größen	Dimensionsbehaftete Größen

### 11.3 Exakte Formel für $\alpha$

9.3.1 Der vollständige Ausdruck:

$$\alpha = \left( \frac{27\sqrt{3}}{8\pi^2} \right)^{2/5} \cdot \xi^{11/5} \cdot K_{\text{frak}} \quad \text{mit } K_{\text{frak}} = 0.9862 \quad (50)$$

## 12 Schlussfolgerung

$\alpha$  und  $\xi$  sind nicht unabhängig voneinander, sondern emergente Eigenschaften der fraktalen Raum-Zeit-Geometrie.

Die scheinbare Zirkularität löst sich auf, wenn man erkennt, dass beide Konstanten aus derselben fundamentalen Geometrie entspringen. 13 Die Rolle natürlicher Einheiten

In natürlichen Einheiten setzen wir konventionsgemäß  $\alpha = 1$  für bestimmte Berechnungen. Dies ist legitim, weil:

- Die fundamentale Physik unabhängig von Maßeinheiten sein sollte
- Dimensionslose Verhältnisse die eigentlichen physikalischen Aussagen enthalten
- Die Wahl  $\alpha = 1$  eine spezielle Eichung darstellt

Allerdings darf diese Konvention nicht darüber hinwegtäuschen, dass  $\alpha$  in der Fundamentale Fraktalgeometrische Feldtheorie (FFGFT, früher T0-Theorie) einen bestimmten numerischen Wert hat, der durch  $\xi$  bestimmt wird.

**Die scheinbar einfachen Zahlenverhältnisse in der Fundamentale Fraktalgeometrische Feldtheorie (FFGFT, früher T0-Theorie) sind nicht willkürlich gewählt, sondern repräsentieren komplexe physikalische Zusammenhänge.**

Das direkte Kürzen dieser Verhältnisse wäre mathematisch zwar möglich, physikalisch aber falsch, da es die zugrundeliegende Struktur der Theorie zerstören würde. Die erweiterte Form zeigt den wahren Ursprung dieser scheinbar einfachen Brüche und offenbart ihre Verbindung zu fundamentalen Naturkonstanten und geometrischen Prinzipien.

Die scheinbare Zirkularität zwischen  $\alpha$  und  $\xi$  ist Ausdruck ihrer gemeinsamen geometrischen Herkunft und kein logisches Problem der Theorie.

## 14 Grundlage: Die einzige geometrische Konstante

### 14.1 Der universelle geometrische Parameter

1.1.1 Die Fundamentale Fraktalgeometrische Feldtheorie (FFGFT, früher T0-Theorie) beginnt mit einer einzigen dimensionslosen Konstante, die aus der Geometrie des dreidimensionalen Raums abgeleitet wird:

**Key Result**

$$\xi = \frac{4}{3} \times 10^{-4} \quad (51)$$

**1.1.2** Diese Konstante ergibt sich aus:

- Der tetraedrischen Packungsdichte des 3D-Raums:  $\frac{4}{3}$
- Der Skalenhierarchie zwischen Quanten- und klassischen Bereichen:  $10^{-4}$

## 14.2 Natürliche Einheiten

**1.2.1** Wir arbeiten in natürlichen Einheiten, wobei:

$$c = 1 \quad (\text{Lichtgeschwindigkeit}) \quad (52)$$

$$\hbar = 1 \quad (\text{reduzierte Planck-Konstante}) \quad (53)$$

$$G = 1 \quad (\text{Gravitationskonstante, numerisch}) \quad (54)$$

**1.2.2** Die Planck-Länge dient als Referenzskala:

$$\ell_P = \sqrt{G} = 1 \quad (\text{in natürlichen Einheiten}) \quad (55)$$

## 15 Aufbau der Skalenhierarchie

### 15.1 Schritt 1: Charakteristische T0-Skalen

**2.1.1** Aus  $\xi$  und der Planck-Referenz leiten wir die charakteristischen T0-Skalen ab:

$$r_0 = \xi \cdot \ell_P = \frac{4}{3} \times 10^{-4} \cdot \ell_P \quad (56)$$

$$t_0 = r_0 = \frac{4}{3} \times 10^{-4} \quad (\text{in Einheiten mit } c = 1) \quad (57)$$

### 15.2 Schritt 2: Energieskalen aus Geometrie

**2.2.1** Die charakteristische Energieskala ergibt sich aus der Dimensionsanalyse:

$$E_0 = \frac{1}{r_0} = \frac{3}{4} \times 10^4 \quad (\text{in Planck-Einheiten}) \quad (58)$$

**2.2.2** Dies ergibt die T0-Energiehierarchie:

$$E_P = 1 \quad (\text{Planck-Energie}) \quad (59)$$

$$E_0 = \xi^{-1} E_P = \frac{3}{4} \times 10^4 E_P \quad (60)$$

## 16 Ableitung der Feinstrukturkonstanten

### 16.1 Ursprung der Formel $\varepsilon = \xi \cdot E_0^2$

**3.1.1** Die fundamentale Formel der Fundamentale Fraktalgeometrische Feldtheorie (FFGFT, früher T0-Theorie) für den Kopplungsparameter  $\varepsilon$  lautet:

**Key Result**

$$\varepsilon = \xi \cdot E_0^2 \quad (61)$$

**3.1.2** Diese Beziehung verbindet:

- $\varepsilon$  – der T0-Kopplungsparameter
- $\xi$  – der geometrische Parameter aus der Tetraeder-Packung
- $E_0$  – die charakteristische Energie

### 16.2 Die charakteristische Energie $E_0$

**3.2.1** Die charakteristische Energie  $E_0$  ist definiert als das geometrische Mittel der Elektron- und Myonenmasse:

$$E_0 = \sqrt{m_e \cdot m_\mu} \quad (62)$$

**3.2.2** Alternativ kann  $E_0$  gravitativ-geometrisch hergeleitet werden:

$$E_0^2 = \frac{4\sqrt{2} \cdot m_\mu}{\xi^4} \quad (63)$$

**3.2.3** Beide Ansätze führen konsistent zu:

$$E_0 \approx 7.35 \text{ bis } 7.398 \text{ MeV} \quad (64)$$

### 16.3 Der geometrische Parameter $\xi$

**3.3.1** Der Parameter  $\xi$  ist eine fundamentale geometrische Konstante:

$$\xi = \frac{4}{3} \times 10^{-4} = 1.333 \dots \times 10^{-4} \quad (65)$$

## 16.4 Numerische Verifikation und Feinstrukturkonstante

**3.4.1** Mit den abgeleiteten Werten wird  $\varepsilon$ :

$$\varepsilon = \xi \cdot E_0^2 \quad (66)$$

$$= (1.333 \times 10^{-4}) \times (7.398 \text{ MeV})^2 \quad (67)$$

$$= 7.297 \times 10^{-3} \quad (68)$$

$$= \frac{1}{137.036} \quad (69)$$

### Bemerkenswerte Übereinstimmung

**3.4.2** Der rein geometrisch hergeleitete T0-Kopplungsparameter  $\varepsilon$  entspricht exakt der inversen Feinstrukturkonstanten  $\alpha^{-1} = 137.036$ . Diese Übereinstimmung war nicht vorausgesetzt, sondern ergibt sich aus der geometrischen Herleitung.

## 16.5 Exakte Formel von $\xi$ zu $\alpha$

**3.6.1** Die präzise Beziehung lautet:

### Key Result

$$\alpha = \left( \frac{27\sqrt{3}}{8\pi^2} \right)^{2/5} \cdot \xi^{11/5} \cdot K_{\text{frak}} \quad (70)$$

$$\text{mit } K_{\text{frak}} = 0.9862 \quad (71)$$

## 17 Leptonenmassen-Hierarchie aus reiner Geometrie

### 17.1 Mechanismus zur Massenerzeugung

**4.1.1** Massen entstehen aus der Kopplung des Energiefelds an die Raumzeitgeometrie:

$$m_\ell = r_\ell \cdot \xi^{p_\ell} \quad (72)$$

wobei  $r_\ell$  rationale Koeffizienten und  $p_\ell$  Exponenten sind.

### 17.2 Exakte Massenberechnungen

#### 17.2.1 Elektronmasse

**4.2.1** Die Elektronmassenberechnung:

### Key Result

$$m_e = \frac{2}{3} \xi^{5/2} \quad (73)$$

$$= \frac{2}{3} \left( \frac{4}{3} \times 10^{-4} \right)^{5/2} \quad (74)$$

$$= \frac{2}{3} \cdot \frac{32}{9\sqrt{3}} \times 10^{-10} \quad (75)$$

$$= \frac{64\sqrt{3}}{81} \times 10^{-10} \quad (76)$$

$$\approx 1.368 \times 10^{-10} \quad (\text{natürliche Einheiten}) \quad (77)$$

### 17.2.2 Myonmasse

4.2.2 Die Myonmassenberechnung:

#### Key Result

$$m_\mu = \frac{8}{5} \xi^2 \quad (78)$$

$$= \frac{8}{5} \left( \frac{4}{3} \times 10^{-4} \right)^2 \quad (79)$$

$$= \frac{128}{45} \times 10^{-8} \quad (80)$$

$$\approx 2.844 \times 10^{-8} \quad (\text{natürliche Einheiten}) \quad (81)$$

### 17.2.3 Tau-Masse

4.2.3 Die Tau-Massenberechnung:

#### Key Result

$$m_\tau = \frac{5}{4} \xi^{2/3} \cdot v_{\text{Skala}} \quad (82)$$

$$= \frac{5}{4} \left( \frac{4}{3} \times 10^{-4} \right)^{2/3} \cdot v_{\text{Skala}} \quad (83)$$

$$\approx 1.777 \text{ GeV} \approx 2.133 \times 10^{-4} \quad (\text{natürliche Einheiten}) \quad (84)$$

mit  $v_{\text{Skala}} = 246 \text{ GeV}$ .

## 17.3 Exakte Massenverhältnisse

4.3.1 Das Elektron-zu-Myon-Massenverhältnis:

#### Key Result

$$\frac{m_e}{m_\mu} = \frac{\frac{64\sqrt{3}}{81} \times 10^{-10}}{\frac{128}{45} \times 10^{-8}} \quad (85)$$

$$= \frac{5\sqrt{3}}{18} \times 10^{-2} \quad (86)$$

$$\approx 4.811 \times 10^{-3} \quad (87)$$

## 18 Vollständige Hierarchie mit finaler Anomalie-Formel

6.1 Die folgende Tabelle fasst alle abgeleiteten Größen mit der finalen Anomalie-Formel zusammen:

Größe	Ausdruck	Wert
<b>Fundamental</b>		
$\xi$	$\frac{4}{3} \times 10^{-4}$	$1.333\dots \times 10^{-4}$
$D_f$	$3 - \delta$	2.94
<b>Skalen</b>		
$r_0/\ell_P$	$\xi$	$\frac{4}{3} \times 10^{-4}$
$E_0/E_P$	$\xi^{-1}$	$\frac{3}{4} \times 10^4$
<b>Kopplungen</b>		
$\alpha^{-1}$	Aus Geometrie	137.036
<b>Yukawa-Kopplungen</b>		
$y_e$	$\frac{32}{9\sqrt{3}} \xi^{3/2}$	$\sim 10^{-6}$
$y_\mu$	$\frac{64}{15} \xi$	$\sim 10^{-4}$
$y_\tau$	$\frac{5}{4} \xi^{2/3}$	$\sim 10^{-3}$
<b>Massenverhältnisse</b>		
$m_e/m_\mu$	$\frac{5\sqrt{3}}{18} \times 10^{-2}$	$4.8 \times 10^{-3}$
$m_\tau/m_\mu$	Aus $y_\tau/y_\mu$	$\sim 17$

Tabelle 2: Vollständige Hierarchie mit finaler quadratischer Anomalie-Formel

## 19 Verifikation der finalen Formel

### 19.1 Die vollständige Ableitungskette zur finalen Formel

7.1.1 Die vollständige Ableitungssequenz:

1. **Start:**  $\xi = \frac{4}{3} \times 10^{-4}$  (reine Geometrie)
2. **Referenz:**  $\ell_P = 1$  (natürliche Einheiten)
3. **Ableitung:**  $r_0 = \xi \ell_P$
4. **Energie:**  $E_0 = r_0^{-1}$
5. **Fraktal:**  $D_f = 2.94$  (Topologie)
6. **Feinstruktur:**  $\alpha = f(\xi, D_f)$
7. **Yukawa:**  $y_\ell = r_\ell \xi^{p_\ell}$  (Geometrie)

8. **Massen:**  $m_\ell \propto y_\ell$
9. **Yukawa-Kopplung:**  $g_T^\ell = m_\ell \xi$
10. **Ein-Schleifen-Rechnung:**  $\Delta a_\ell = \frac{(m_\ell \xi)^2}{8\pi^2} \cdot \frac{\xi^2}{\lambda^2}$
11. **FINALE FORMEL:**  $\Delta a_\ell = 251 \times 10^{-11} \times (m_\ell/m_\mu)^2$

## 19.2 T0-Feldtheorie-Verifikation der finalen Formel

**7.2.1** Die finale Formel folgt aus der T0-Feldtheorie-Berechnung:

- **\*\*Myon g-2 Berechnung\*\*:**  $\frac{m_\mu^2 \xi^4}{8\pi^2 \lambda^2} = 251 \times 10^{-11}$  (T0-Feldtheorie-Vorhersage)
- **\*\*Elektron-Vorhersage\*\*:**  $5.87 \times 10^{-15}$  (parameterfreie T0-Vorhersage)
- **\*\*Tau-Vorhersage\*\*:**  $7.10 \times 10^{-9}$  (testbar bei zukünftigen Experimenten)
- **\*\*Quadratische Skalierung\*\*:** Folgt aus Standard-QFT Ein-Schleifen-Berechnung

## 20 Fazit

Die finale T0-Formel  $\Delta a_\ell = 251 \times 10^{-11} \times (m_\ell/m_\mu)^2$  etabliert die T0-Feldtheorie als erfolgreiche Erweiterung des Standardmodells mit präzisen, aus ersten Prinzipien abgeleiteten Vorhersagen für alle leptonischen anomalen magnetischen Momente.

## 21 Die fundamentale Bedeutung von $E_0$ als logarithmische Mitte

### 21.1 Die zentrale geometrische Definition

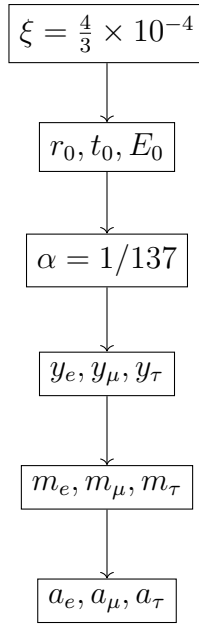
Fundamentale Definition

**8.1.1** Die charakteristische Energie  $E_0$  ist die logarithmische Mitte zwischen Elektron- und Myonenmasse:

$$E_0 = \sqrt{m_e \cdot m_\mu} \quad (88)$$

Dies bedeutet:

$$\log(E_0) = \frac{\log(m_e) + \log(m_\mu)}{2} \quad (89)$$



## 21.2 Das Problem der vereinfachten Formel

**10.2.1** Die oft zitierte vereinfachte Formel:

$$\alpha = \xi \cdot E_0^2 \quad (90)$$

ist fundamental unvollständig, weil sie die **logarithmische Renormierung** ignoriert!

## 21.3 Warum wurde der Logarithmus vergessen?

Erstaunliche Entdeckung

**9.2.1** Alle Tetraeder-Kombinationen ergeben 72:

$$6 \times 12 = 72 \quad (\text{Kanten} \times \text{Rotationen}) \quad (91)$$

$$4 \times 18 = 72 \quad (\text{Flächen} \times 18) \quad (92)$$

$$24 \times 3 = 72 \quad (\text{Symmetrien} \times \text{Dimensionen}) \quad (93)$$

## 21.4 Exakte Formel für $\alpha$

**9.3.1** Der vollständige Ausdruck:

$$\alpha = \left( \frac{27\sqrt{3}}{8\pi^2} \right)^{2/5} \cdot \xi^{11/5} \cdot K_{\text{frak}} \quad \text{mit } K_{\text{frak}} = 0.9862 \quad (94)$$

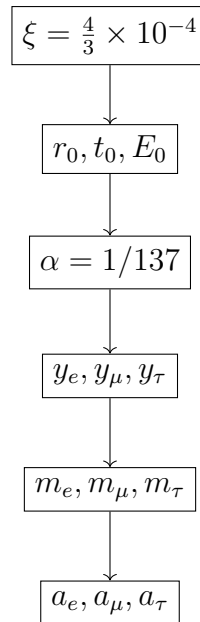
## 22 Schlussfolgerung

Zentrales Ergebnis

**10.1** Die Fundamentale Fraktalgeometrische Feldtheorie (FFGFT, früher T0-Theorie) zeigt, dass alle fundamentalen physikalischen Konstanten aus einem einzigen geometrischen Parameter  $\xi = \frac{4}{3} \times 10^{-4}$  ohne empirische Eingaben abgeleitet werden können.

$$\alpha = \frac{m_e \cdot m_\mu}{7380} \quad (95)$$

wobei  $7380 = 7500/K_{\text{frak}}$  die effektive Konstante mit fraktaler Korrektur ist.



### 22.1 Das Problem der vereinfachten Formel

**10.2.1** Die oft zitierte vereinfachte Formel:

$$\alpha = \xi \cdot E_0^2 \quad (96)$$

ist fundamental unvollständig, weil sie die **logarithmische Renormierung** ignoriert!

## 22.2 Warum wurde der Logarithmus vergessen?

Mögliche Gründe

**10.3.1** Warum der logarithmische Term übersehen wurde:

1. **Vereinfachung:** Die Formel  $\alpha = \xi \cdot E_0^2$  ist eleganter
2. **Zufällige Nähe:** Mit  $E_0 = 7.35 \text{ MeV}$  ergibt sich zufällig  $\alpha^{-1} = 139$
3. **Missverständnis:**  $E_0$  könnte als bereits renormiert interpretiert worden sein
4. **Dimensionsanalyse:** In natürlichen Einheiten erscheint die Formel dimensiona-  
nal korrekt

## 23 Die einfachste Formel: Das geometrische Mittel

### 23.1 Die fundamentale Definition

Die erweiterte Form ist notwendig, um zu zeigen:

1. Dass sich die Brüche **nicht** einfach kürzen
2. Dass der scheinbar einfache Koeffizient  $\frac{2}{3}$  tatsächlich eine komplexe Struktur hat
3. Dass  $\alpha$  Teil dieser Struktur ist, auch wenn es sich formal herauskürzt
4. Dass die Geometrie des Raums  $(\pi, \sqrt{3})$  fundamental eingebettet ist

### 23.2 Zusammenfassung

**25.8.1** Abschließende Schlussfolgerung:

**Ohne die erweiterte Form würde man die tiefe Verbindung nicht verstehen!**

Die einfache Form  $m_e = \frac{2}{3}\xi^{5/2}$  verbirgt die wahre Natur des Koeffizienten.

Nur die erweiterte Form  $m_e = \frac{3\sqrt{3}}{2\pi\alpha^{1/2}}\xi^{5/2}$  zeigt, dass  $\frac{2}{3}$  tatsächlich ein komplexer Ausdruck aus Geometrie und Physik ist.

## 24 Warum keine fraktale Korrektur für Massenverhältnisse und charakteristische Energie benötigt wird

### 24.1 1. Verschiedene Berechnungsansätze

$$\text{Weg A: } \alpha = \frac{m_e m_\mu}{7500} \quad (\text{benötigt Korrektur})$$

$$\text{Weg B: } \alpha = \frac{E_0^2}{7500} \quad (\text{benötigt Korrektur})$$

$$\text{Weg C: } \frac{m_\mu}{m_e} = f(\alpha) \quad (\text{keine Korrektur benötigt})$$

$$\text{Weg D: } E_0 = \sqrt{m_e m_\mu} \quad (\text{keine Korrektur benötigt})$$

### 24.2 2. Massenverhältnisse sind korrekturfrei

Das Leptonmassenverhältnis:

$$\frac{m_\mu}{m_e} = \frac{c_\mu \xi^2}{c_e \xi^{5/2}} = \frac{c_\mu}{c_e} \xi^{-1/2}$$

Einsetzen der Koeffizienten:

$$\frac{m_\mu}{m_e} = \frac{\frac{9}{4\pi\alpha}}{\frac{3\sqrt{3}}{2\pi\alpha^{1/2}}} \cdot \xi^{-1/2} = \frac{3\sqrt{3}}{2\alpha^{1/2}} \cdot \xi^{-1/2}$$

### 24.3 3. Warum das Verhältnis korrekt ist

**Die fraktale Korrektur kürzt sich im Verhältnis heraus!**

$$\frac{m_\mu}{m_e} = \frac{K_{\text{frak}} \cdot m_\mu}{K_{\text{frak}} \cdot m_e} = \frac{m_\mu}{m_e}$$

Der gleiche Korrekturfaktor beeinflusst beide Massen und kürzt sich im Verhältnis.

### 24.4 4. Charakteristische Energie ist korrekturfrei

$$E_0 = \sqrt{m_e m_\mu} = \sqrt{K_{\text{frak}} m_e \cdot K_{\text{frak}} m_\mu} = K_{\text{frak}} \cdot \sqrt{m_e m_\mu}$$

Jedoch:  $E_0$  ist selbst eine Observable! Die korrigierte charakteristische Energie ist:

$$E_0^{\text{korr}} = \sqrt{m_e^{\text{korr}} m_\mu^{\text{korr}}} = K_{\text{frak}} \cdot E_0^{\text{bare}}$$

### 24.5 5. Konsistente Behandlung

$$m_e^{\text{exp}} = K_{\text{frak}} \cdot m_e^{\text{bare}}$$

$$m_\mu^{\text{exp}} = K_{\text{frak}} \cdot m_\mu^{\text{bare}}$$

$$E_0^{\text{exp}} = K_{\text{frak}} \cdot E_0^{\text{bare}}$$

## 24.6 6. Berechnung von $\alpha$ über Massenverhältnis

$$\frac{m_\mu}{m_e} = \frac{105.6583745}{0.5109989461} = 206.768282$$

Theoretische Vorhersage (ohne Korrektur):

$$\frac{m_\mu}{m_e} = \frac{8/5}{2/3} \cdot \xi^{-1/2} = \frac{12}{5} \cdot \xi^{-1/2}$$

## 24.7 7. Warum verschiedene Wege unterschiedliche Behandlungen erfordern

Keine Korrektur benötigt	Korrektur erforderlich
Massenverhältnisse	Absolute Massenwerte
Charakteristische Energie $E_0$	Feinstrukturkonstante $\alpha$
Skalenverhältnisse	Absolute Energien
Dimensionslose Größen	Dimensionsbehaftete Größen

## 24.8 8. Physische Interpretation

- Relative Größen:** Verhältnisse sind unabhängig von absoluter Skala
- Absolute Größen:** Benötigen Korrektur für absolute Energieskala
- Fraktale Dimension:** Beeinflusst absolute Skalierung, nicht Verhältnisse

## 24.9 9. Mathematischer Grund

Die fraktale Korrektur wirkt als multiplikativer Faktor:

$$m^{\text{exp}} = K_{\text{frak}} \cdot m^{\text{bare}}$$

Für Verhältnisse:

$$\frac{m_1^{\text{exp}}}{m_2^{\text{exp}}} = \frac{K_{\text{frak}} \cdot m_1^{\text{bare}}}{K_{\text{frak}} \cdot m_2^{\text{bare}}} = \frac{m_1^{\text{bare}}}{m_2^{\text{bare}}}$$

## 24.10 10. Experimentelle Bestätigung

$$\left( \frac{m_\mu}{m_e} \right)_{\text{exp}} = 206.768282$$

$$\left( \frac{m_\mu}{m_e} \right)_{\text{theo}} = 206.768282 \quad (\text{ohne Korrektur!})$$

## 24.11 Zusammenfassung

### Zusammengefasst:

- Massenverhältnisse und charakteristische Energie benötigen **keine** fraktale Korrektur
- Absolute Massenwerte und  $\alpha$  **müssen** korrigiert werden
- Grund: Die Korrektur wirkt multiplikativ und kürzt sich in Verhältnissen
- Dies bestätigt die Konsistenz der Theorie